

АНАЛИЗ ПРОЦЕССА ЗАТВЕРДЕВАНИЯ МЕТАЛЛА ПРИ ДВУХВАЛКОВОЙ ЗАКАЛКЕ РАСПЛАВА

М. Н. Верещагин, С. П. Пожарков

*Гомельский государственный технический университет
им. П. О. Сухого, Республика Беларусь*

Двухвалковая быстрая закалка интегрирует процессы разлива расплава и прокатку намотанного металла. Непрерывный процесс формообразования металла обеспечивает резкое сокращение энергетических и экономических затрат за счет исключения ряда энерго- и трудоемких операций по переделу слитков. Кроме того, данный процесс позволяет реализовать в изделиях в виде ленты принципиально новые, более высокие эксплуатационные характеристики [1].

Для отработки и совершенствования метода двухвалковой быстрой закалки расплава необходимо проанализировать процесс затвердевания металла. При этом режимы теплопередачи имеют существенное значение в процессе структурообразования, определяющего свойства ленты. Кроме того, на явление теплопередачи между расплавом и валком накладываются фазовые процессы, протекающие в расплаве при перемещении твердожидкой поверхности раздела, и сильная конвекция жидкого металла в клиновидной ванне. Всё это создает неравномерное температурное поле расплава в створе валков, что в конечном итоге оказывает существенное влияние на процесс кристаллизации и непосредственно на конечную структуру ленты.

Для лучшего понимания практических проблем метода 2-х валковой закалки расплава, с точки зрения промышленного его использования, необходим простой и вместе с тем, эффективный инженерный метод моделирования данного процесса.

Процесс затвердевания расплава, в значительной степени, определяется условиями его теплообмена с валковым кристаллизатором, причем тепловые процессы в установленном режиме работы установки принимаются квазистационарными [2]. С учетом этого объем затвердевающего расплава, находящегося в межвалковом пространстве, можно условно разбить на три зоны (рис.1). В зоне I расплав находится в перегретом состоянии, в зоне II (зона затвердевания) расплав представляет собой переохлажденную жидкость повышенной вязкости. Начало зоны II соответствует окончанию процесса отдачи тепла перегрева и моменту образования корки затвердевшего металла в валках, а в конце зоны II происходит встреча фронтов кристаллизации затвердевшего металла, намотанного на левый и правый валки. В зоне III металл, находящийся в твердой фазе, подвергается деформации под действием усилий, прикладываемых к валкам-кристаллизаторам.

В межвалковом пространстве при заливке находится определенное количество расплава с изменяющимся по высоте содержанием твердой фазы. Уровень ванны, имеющей клиновидную форму, определяется в основном литейными свойствами сплава, силами поверхностного натяжения, расходом жидкого металла и геометрическими размерами кристаллизаторов [3].

Будем считать, что скорость подачи расплава и скорость вращения валков-кристаллизаторов в процессе прокатки постоянны и таковы, что верхний уровень расплава занимает некоторое установившееся положение, соответствующее координате y_0 (рис. 1). Как будет видно из дальнейшего изложения, координата y_0 существенно влияет на расположение границ всех областей y_1 и y_2 и, тем самым, определяет режим процесса затвердевания металла в валках-кристаллизаторах.

Выделим элементарный слой расплава в области отвода тепла перегрева и будем считать, что отводимое тепло аккумулируется только стенкой валка.

Тогда уравнение теплового баланса для металла в первой области межвалкового пространства имеет следующий вид ($dQ_1 = dQ_2$)

$$C_p \cdot \rho \cdot h \cdot \frac{\sqrt{R^2 - y^2}}{R} \cdot dT = 2 \cdot \alpha \cdot (T - T_0) \cdot dt, \quad (1)$$

где C_p – удельная теплоемкость; ρ – удельная плотность расплава; R – радиус валка; α – коэффициент теплопередачи между расплавом и валком; T, T_0 – температура расплава (текущая) и валкакристаллизатора соответственно; h – ширина элементарного слоя расплава; dQ_1, dQ_2 – количество тепла, передаваемого слоем расплава и валками от расплава соответственно.

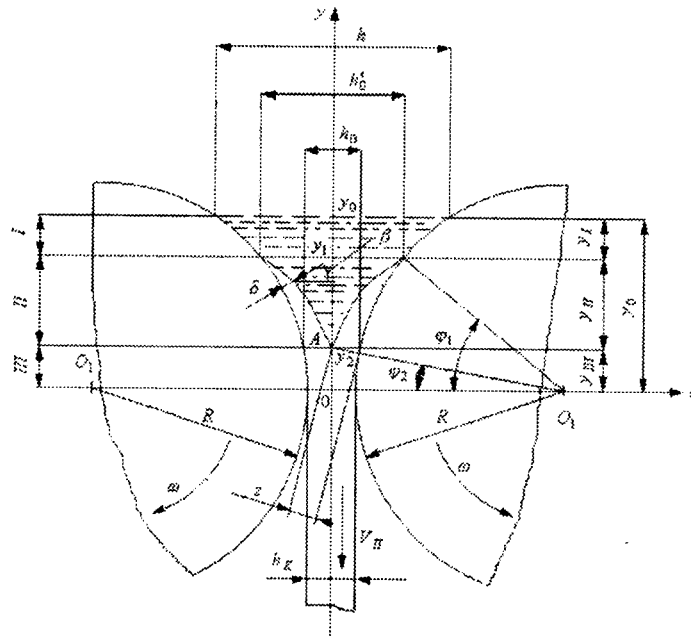


Рис. 1. Схема процесса двухвалковой быстрой закалки расплава

Интегрирование уравнения (1) с учетом того, что верхнее зеркало расплава ($y=y_0$) в межвалковом пространстве находится при температуре заливки T_1 , позволяет найти координату y_1 в зависимости от температуры, теплофизических характеристик расплава и геометрических размеров валков-кристаллизаторов:

$$y_1 = R \cdot \sin \left[\frac{C_p \cdot \rho \cdot q}{2 \cdot \alpha \cdot \delta \cdot R} \cdot \ln \frac{T_{кр} - T_0}{T_1 - T_0} + \arcsin \frac{y_0}{R} \right]. \quad (2)$$

Конец зоны I отвода тепла перегрева соответствует температуре кристаллизации $T_{кр}$ расплава.

Основной задачей является нахождение координаты y_2 , определяющей конец процесса кристаллизации и начало зоны деформации.

Если валки вращаются с угловой скоростью ω , а процесс кристаллизации длится время $t_{кр}$, то, как видно из рис. 1;

$$\varphi_1 - \varphi_2 = \omega \cdot t_{кр}, \quad (3)$$

где φ_1, φ_2 – углы, соответствующие началу и концу кристаллизации. Углы φ_1, φ_2 связаны с размерами валков R , и геометрическими параметрами клиновидной зоны y_1 и y_2 следующими соотношениями:

$$y_1 = R \cdot \sin \varphi_1; y_2 = (R + z) \cdot \sin \varphi_2,$$

где z – толщина корки металла, намороженной на каждый из валков к моменту встречи фронтов кристаллизации. Отсюда время $t_{кр}$ кристаллизации из уравнения (3) равно

$$t_{кр} = \frac{1}{\omega} \cdot \left(\arcsin \frac{y_1}{R} - \arcsin \frac{y_2}{R+z} \right) \quad (4)$$

С другой стороны, закон продвижения фронта кристаллизации найдём из следующего соображения: на стадии затвердевания температура расплава постоянна и равна $T_{кр}$.

Рассмотрим процесс увеличения слоя корки от времени в системе отсчета, жестко связанной с плоскостью холодильника. Уравнение теплового баланса для объема dV корки, опирающегося на эту поверхность может быть представлено в виде:

$$dQ = dQ_{АКК} + dQ_{КР}, \quad (5)$$

где dQ – количество теплоты, отдаваемое объемом dV затвердевшей корки холодильнику за время dt ; $dQ_{АКК}$ – количество теплоты, выделяющееся внутри объема dV затвердевшей корки; $dQ_{КР}$ – количество теплоты кристаллизации.

Зависимость $T = T(y)$ постулируем в виде параболы n -ого порядка [4].

$$T = -(T_{кр} - T_n) \cdot \left(\frac{y}{\xi} \right)^n + T_{кр}, \quad (6)$$

где $T_{кр}, T_n$ – температура кристаллизации и корки у поверхности холодильника соответственно; ξ – текущая толщина намораживаемой корки; n – показатель степени.

Интегрируя уравнение (4) в развернутом виде с учетом соотношения (5) и начальных условий (при $t = 0, \delta = 0$), получаем:

$$t_{кр} = B_1 \cdot z + B_2 \cdot z^2 + B_3 \cdot \ln \left(1 + \frac{1}{n} \cdot \frac{\alpha}{\lambda} \cdot z \right), \quad (7)$$

где B_1, B_2, B_3 – коэффициенты, зависящие от теплофизических свойств расплава и условий теплообмена:

$$B_1 = \frac{C_p \cdot \rho}{\alpha} \cdot \left(L + \frac{1}{n+1} \right), \quad B_2 = \frac{C_p \cdot \rho}{2 \cdot \lambda \cdot n} \cdot \left(L + \frac{1}{n+1} \right), \quad B_3 = -\frac{n}{n+1} \cdot \frac{\lambda \cdot C_p \cdot \rho}{\alpha^2},$$

$$L = \frac{\rho_1}{C_p \cdot (T_{кр} - T_0)},$$

ρ_1 – удельная теплота кристаллизации металла; ρ, C_p – плотность и удельная теплоемкость намороженной корочки металла. Приравнивая правые части выражения (4) и (6) получаем:

$$B_2 \cdot \left(\sqrt{R^2 + y_2^2} - R \right) + \frac{1}{\omega} \cdot \arcsin \frac{y_2}{\sqrt{R^2 + y_2^2}} = \frac{1}{\omega} \arcsin \frac{y_1}{R}.$$

С достаточной степенью точности значение y_2 может быть найдено:

$$y_2 = \frac{h^2 \cdot \rho \cdot \omega \cdot R \cdot (\rho_1 + 0.5 \cdot \eta_1 \cdot C_p \cdot (T_{кр} - T_0))}{2 \cdot \lambda \cdot (T_{кр} - T_0)} \quad (8)$$

где η_1 – поправочный коэффициент.

Высота ванны расплава незначительно влияет на высоту зоны отвода тепла перегрева при фиксированных значениях перегрева металла и объемном расходе расплава в единицу времени. Аналогичное влияние оказывает изменение диаметра валков. Наибольшее влияние на высоту данной зоны оказывают скорость вращения валков и перегрев металла. Увеличение глубины ванны расплава расширяет границу стабильного формирования ленты. Увеличение скорости вращения валков, их диаметра, повышение температуры перегрева и уменьшения высоты ванны ведет к росту глубины лунки, что может привести к нарушению сплошности получаемой ленты. Для получения качественной ленты необходимо соблюдение параметров процесса.

Литература

1. Молотилев Б.В.// Сталь. – 1990. – №12. – С. 1
2. Верещагин М.Н.// Аморфные и микрокристаллические материалы. – М., 1989. – С. 5–8
3. Степанов А.Н., Зильберг Ю.В., Неуструев А.А. Производство листа из расплава. – М., 1978. – 143 с.
4. Вейник А.И. Теория затвердевания отливки. – М.: Из-во машиностроительной литературы, 1960. – 435 с.

ГРАДИЕНТНАЯ КАТАСТРОФА В ДВУМЕРНОЙ ТЕПЛОВОЙ ВОЛНЕ

О. Н. Шабловский

Гомельский государственный технический университет
им. П. О. Сухого, Республика Беларусь

Предметом исследования являются нелинейные свойства градиента температуры на подвижных двумерных границах, которые перемещаются в среде, обладающей конечным временем релаксации теплового потока:

$$\mathbf{q} + \gamma \frac{\partial \mathbf{q}}{\partial t} = -\lambda \text{grad} T. \quad (1)$$

Нелинейное гиперболическое уравнение теплопроводности имеет вид:

$$c \left(\frac{\partial T}{\partial t} + \gamma \frac{\partial^2 T}{\partial t^2} \right) = \text{div}(\lambda \text{grad} T), \quad c = c(T), \quad \gamma = \gamma(T), \quad \lambda = \lambda(T), \quad (2)$$

где T – температура; t – время; c – удельная объемная теплоемкость; γ – время релаксации теплового потока $\mathbf{q}(q_1, q_2)$; λ – коэффициент теплопроводности. Уравнение вида (2) было выведено в работах [1,2] для сред типа (1) с помощью вариационных принципов явлений нелинейного релаксационного теплопереноса.

Изучим здесь случай, когда теплофизические параметры среды таковы:

$$\lambda = \lambda_0 \exp(IT), \quad c/\lambda = \alpha \equiv \text{const}, \quad \gamma \equiv \text{const}, \quad \gamma c/\lambda = n^2.$$

Таким образом, располагаем исходным уравнением:

$$\alpha T_t + n^2 T_{tt} = T_{xx} + T_{yy} + I[(T_x)^2 + (T_y)^2].$$

Исследуемая задача состоит в следующем. В плоскости x, y при постоянной температуре T_0 имеется неподвижная среда, в которой тепловые возмущения распространяются со